

## การจำลองการเผาไหม้ของแอมโมเนียร่วมกับถ่านหินที่มีปริมาณกำมะถันสูง โดยใช้โปรแกรม Aspen Plus

โปรดปราน สิริธีรศาสน์\*, ณัฐนรี ชำนาญ, และ บุญชา ปายัน

ภาควิชาวิศวกรรมเคมี คณะวิศวกรรมศาสตร์ มหาวิทยาลัยธรรมศาสตร์ จังหวัดปทุมธานี ประเทศไทย

\*Corresponding author: sprodatu.ac.th

### บทคัดย่อ

เพื่อลดการปล่อยก๊าซคาร์บอนไดออกไซด์ (CO<sub>2</sub>) ซึ่งเป็นสาเหตุหลักของการเกิดภาวะโลกร้อน (global warming effect) จึงนำแอมโมเนีย (NH<sub>3</sub>) ซึ่งเป็นเชื้อเพลิงที่ปราศจากคาร์บอน มาเผาไหม้ร่วมกับเชื้อเพลิงซากดึกดำบรรพ์ โดยงานวิจัยนี้ได้ศึกษาผลของตัวแปรต่าง ๆ ที่เกี่ยวข้องกับการปล่อย CO<sub>2</sub> ออกไซด์ของไนโตรเจน (NO<sub>x</sub>) และออกไซด์ของกำมะถัน (SO<sub>x</sub>) จากการเผาไหม้แอมโมเนียร่วมกับถ่านหินที่มีปริมาณกำมะถันสูงด้วยการจำลองกระบวนการเผาไหม้โดยใช้โปรแกรม Aspen Plus V.12.1 จำนวน 360 การทดลอง ตัวแปรที่ทำการศึกษา ได้แก่ อุณหภูมิของการเผาไหม้ (500 ถึง 2,000 °C) สัดส่วนมวลของแอมโมเนียในเชื้อเพลิงผสมระหว่างแอมโมเนียกับถ่านหิน (ร้อยละ 0 ถึง 100) ปริมาณอากาศเกินพอ (ร้อยละ -15 ถึง +15) และปริมาณกำมะถันในถ่านหิน (ร้อยละ 0.5 ถึง 5) ผลการศึกษาพบว่า เมื่อเพิ่มสัดส่วนมวลของแอมโมเนียในเชื้อเพลิงผสมส่งผลให้การปล่อย CO<sub>2</sub> ลดลง และเมื่อใช้ปริมาณอากาศเกินพอร้อยละ 15 ทำให้มีการปล่อย CO<sub>2</sub> ต่ำที่สุด เมื่อเพิ่มอุณหภูมิของการเผาไหม้และปริมาณอากาศเกินพอ ส่งผลให้การปล่อย NO<sub>x</sub> เพิ่มขึ้น การเพิ่มสัดส่วนมวลของแอมโมเนียในเชื้อเพลิงผสมไม่ส่งผลต่อการปล่อย NO<sub>x</sub> เมื่อปริมาณกำมะถันในถ่านหินเพิ่มขึ้น ส่งผลให้มีการปล่อย SO<sub>x</sub> เพิ่มขึ้น แต่การเพิ่มสัดส่วนมวลของแอมโมเนียในเชื้อเพลิงผสมส่งผลให้การปล่อย SO<sub>x</sub> ลดลง นอกจากนี้ ยังพบว่า การเพิ่มขึ้นของการปล่อย SO<sub>x</sub> ส่งผลให้การปล่อย NO<sub>x</sub> ลดลงเล็กน้อย

**คำสำคัญ:** การเผาไหม้แอมโมเนียร่วมกับถ่านหิน / การปล่อยก๊าซคาร์บอนไดออกไซด์ / การปล่อยออกไซด์ของไนโตรเจน / การปล่อยออกไซด์ของกำมะถัน

## Simulation of the co-firing of ammonia and high-sulphur-content coal using Aspen Plus

Prodpran Siritheerasas<sup>\*</sup>, Natnaree Chamnan, and Boonyacha Payan

*Department of Chemical Engineering, Thammasat School of Engineering, Thammasat University, Pathumthani, Thailand*

*\*Corresponding author: sprodatu.ac.th*

### Abstract

In an attempt to lower the emission of carbon dioxide (CO<sub>2</sub>), one of the most potential greenhouse gases that causes the global warming effect, ammonia (NH<sub>3</sub>), a carbon-free fuel, is co-fired with another fossil fuel. In the present study, the effects of various variables on the emissions of CO<sub>2</sub>, oxides of nitrogen (NO<sub>x</sub>), and oxides of sulphur (SO<sub>x</sub>) from the co-firing of ammonia and high-sulphur-content coal were investigated using Aspen Plus V.12.1 for 360 test runs. The variables examined in this study included the combustion temperature (500 to 2,000 °C), the NH<sub>3</sub> mass percentage in the NH<sub>3</sub>-coal fuel mixture (0 to 100 wt.%), the percentage of excess air (-15 to +15%), and the percentage of sulphur in coal (0.5 to 5 wt.%). The results revealed that an increase in NH<sub>3</sub> percentage in the fuel mixture led to a decrease in CO<sub>2</sub> emission. The co-firing with the excess air percentage of +15% resulted in the lowest CO<sub>2</sub> emission. Increases in combustion temperature and excess air percentage resulted in an increase in the emission of NO<sub>x</sub>, but an increase in NH<sub>3</sub> percentage in the fuel mixture had an insignificant effect on NO<sub>x</sub> emission. When the percentage of sulphur in coal increased, the emission of SO<sub>x</sub> also increased. However, the emission of SO<sub>x</sub> decreased with an increase in NH<sub>3</sub> percentage in the fuel mixture. It was also found that an increase in the emission of SO<sub>x</sub> led to a slight decrease in the emission of NO<sub>x</sub>.

**Keywords:** Ammonia-coal co-firing / CO<sub>2</sub> emission / NO<sub>x</sub> emission / SO<sub>x</sub> emission

## 1. บทนำ

ในปัจจุบันโลกกำลังเผชิญกับปัญหาภาวะโลกร้อน (global warming effect) ที่ทวีความรุนแรงเพิ่มขึ้นทุกปี [1-3] โดยภาวะโลกร้อนเป็นปรากฏการณ์ที่อุณหภูมิของโลกมีค่าสูงขึ้น อันเกิดจากการสะสมของก๊าซเรือนกระจก ได้แก่ คาร์บอนไดออกไซด์ (CO<sub>2</sub>) มีเทน (CH<sub>4</sub>) ไนตรัสออกไซด์ (N<sub>2</sub>O) กลุ่มไฮโดรฟลูออโรคาร์บอน (hydrofluorocarbons: HFCs) กลุ่มเพอร์ฟลูออโรคาร์บอน (perfluorocarbons: PFCs) ซัลเฟอร์เฮกซะฟลูออไรด์ (SF<sub>6</sub>) และไนโตรเจนไตรฟลูออไรด์ (NF<sub>3</sub>) [4] ในชั้นบรรยากาศ ซึ่งก๊าซเรือนกระจกเหล่านี้มีสมบัติในการกักเก็บรังสีอินฟราเรด (infrared) ไว้ในชั้นบรรยากาศ ทำให้ความร้อนจากรังสีอินฟราเรดไม่สามารถปล่อยออกจากบรรยากาศของโลกได้ตามปกติ นำไปสู่การเพิ่มขึ้นของอุณหภูมิของชั้นบรรยากาศของโลก [4] ทั้งนี้ จากก๊าซเรือนกระจกที่กล่าวถึงข้างต้น ก๊าซ CO<sub>2</sub> ถือเป็นก๊าซเรือนกระจกที่ถูกปล่อยออกสู่ชั้นบรรยากาศของโลกมากที่สุด และเป็นตัวการที่ทำให้เกิดการสะสมของความร้อนในชั้นบรรยากาศของโลกมากที่สุดเช่นกัน [1-3] โดย CO<sub>2</sub> ที่ปล่อยออกสู่ชั้นบรรยากาศส่วนใหญ่มาจากการเผาไหม้ของเชื้อเพลิงซากดึกดำบรรพ์ (fossil fuel) เช่น ถ่านหิน น้ำมันปิโตรเลียม และก๊าซธรรมชาติ เป็นต้น [1-3]

เพื่อป้องกันความเสียหายหรือบรรเทาความรุนแรงที่เกิดจากการเพิ่มขึ้นอย่างรวดเร็วของอุณหภูมิของโลก ทุกประเทศจึงมีแนวคิดที่ต้องการลดการปล่อย CO<sub>2</sub> ลง โดยกิจกรรมแรก ๆ ที่เป็นการพยายามในการลดการปล่อย CO<sub>2</sub> ของประชาคมโลก คือ พิธีสารเกียวโต (Kyoto Protocol) ในปี ค.ศ. 1997 ซึ่งเป็นสนธิสัญญาระหว่างประเทศฉบับแรกที่กำหนดเป้าหมายการลดการปล่อยก๊าซเรือนกระจกของประเทศต่าง ๆ โดยเฉพาะกลุ่มประเทศที่พัฒนาแล้ว [5] อย่างไรก็ตาม หลังจากที่มิพิธีสารเกียวโตแล้ว ปริมาณการปล่อยก๊าซเรือนกระจกโดยเฉพาะ CO<sub>2</sub> ก็ยังไม่ได้ลดลงตามเจตนารมณ์ของพิธีสารดังกล่าว จึงนำไปสู่การประชุม Conference of the Parties to the United Nations Framework Convention on Climate Change (UNFCCC) ครั้งที่ 21 (COP-21) หรือข้อตกลงปารีส (Paris Agreement) ในปี ค.ศ. 2015 ซึ่งได้มีการกำหนดแนวทางใหม่ในการบรรเทาภาวะโลกร้อน โดยมีเป้าหมายหลักในการรักษาอุณหภูมิของโลกให้ไม่เกิน 2 °C จากระดับก่อนยุคอุตสาหกรรม พร้อมทั้งพยายามจำกัดการเพิ่มของอุณหภูมิของโลกให้ไม่เกิน 1.5 °C จากระดับก่อนยุคอุตสาหกรรม [6]

สำหรับประเทศไทย หลังจากที่ได้เข้าร่วมการประชุม COP-21 แล้ว ได้กำหนดเป้าหมายในการลดการปล่อยก๊าซเรือนกระจกให้ได้ร้อยละ 20-25 จากระดับที่คาดว่าจะปล่อยในปี พ.ศ. 2573 (ค.ศ. 2030) ทั้งนี้ จากการประมาณการ พบว่าในปี พ.ศ. 2573 (ค.ศ. 2030) ประเทศไทยจะปล่อยก๊าซเรือนกระจกในปริมาณ 555 ล้านตันของคาร์บอนไดออกไซด์เทียบเท่า ดังนั้น ประเทศไทยต้องพยายามลดการปล่อยก๊าซเรือนกระจกให้ได้ในช่วง 111-139 ล้านตันของคาร์บอนไดออกไซด์เทียบเท่าภายในปี พ.ศ. 2573 (ค.ศ. 2030) [7]

ในปี ค.ศ. 2021 ได้มีการประชุม COP-26 ซึ่งในการประชุมดังกล่าว หลายประเทศ รวมถึงองค์กรด้านพลังงาน ได้แสดงจุดยืนเพื่อขับเคลื่อนการลดการปล่อยก๊าซเรือนกระจก โดยเฉพาะ CO<sub>2</sub> ให้บรรลุเป้าหมายที่ได้ตั้งไว้จากการประชุม COP-21 ภายในปี ค.ศ. 2050 พร้อมกันนี้ ที่ประชุมดังกล่าว ได้เพิ่มความชัดเจนในการพัฒนาและนำเทคโนโลยีต่าง ๆ มาใช้เพื่อช่วยลดการปล่อย CO<sub>2</sub> ภายในปี ค.ศ. 2030 โดยในส่วนของประเทศไทย กระทรวงพลังงานได้เข้าร่วมประชุม Asia Zero Emission Community (AZEC) ครั้งที่ 1 ในปี พ.ศ. 2566 (ค.ศ. 2023) ซึ่งที่ประชุมดังกล่าวมีวัตถุประสงค์เพื่อช่วยเหลือประเทศต่าง ๆ ในทวีปเอเชียในการพัฒนาเทคโนโลยีเพื่อลดการปล่อย CO<sub>2</sub> ตามสภาพแวดล้อมของแต่ละประเทศ โดยหนึ่งในเทคโนโลยีที่มีความเป็นไปได้สูง คือ การนำแอมโมเนีย (NH<sub>3</sub>) ซึ่งเป็นเชื้อเพลิงที่ปราศจากคาร์บอน (carbon-free fuel) มาเผาไหม้ร่วมกับถ่านหิน [8]

แอมโมเนีย (NH<sub>3</sub>) เป็นสารที่มีสถานะเป็นก๊าซที่อุณหภูมิห้อง ไม่มีสี มีกลิ่นฉุน และมีความระคายเคืองสูง สามารถละลายน้ำได้ดี และสามารถถูกบีบอัดได้ง่าย ซึ่งจะทำให้เกิดเป็นของเหลวใสไม่มีสี มีมวลโมเลกุล 17.03 g/mol มีจุดเดือด -33.35 °C และมีจุดเยือกแข็ง -77.7 °C [9] สามารถติดไฟได้ในช่วงความเข้มข้นร้อยละ 16-25 เมื่อผสมกับอากาศ [10] แอมโมเนียเป็นสารประกอบที่ปราศจากคาร์บอน (C) เช่นเดียวกับไฮโดรเจน (H<sub>2</sub>) อนึ่ง เมื่อเทียบกับ H<sub>2</sub> แอมโมเนียมีต้นทุนในการจัดเก็บและขนส่งต่อหน่วยพลังงานที่ต่ำกว่า เนื่องจากมีความหนาแน่นสูงกว่า [11] อย่างไรก็ตาม แม้ว่าแอมโมเนียจะเป็นเชื้อเพลิงที่ปราศจากคาร์บอน ซึ่งจะทำให้ไม่ปล่อย CO<sub>2</sub> ออกสู่บรรยากาศเมื่อถูกเผาไหม้ แต่แอมโมเนียมีไนโตรเจน (N) เป็นองค์ประกอบ เมื่อถูกเผาไหม้จะทำให้เกิดออกไซด์ของไนโตรเจน (NO<sub>x</sub>) ขึ้น [12]

จากการศึกษางานวิจัยที่เกี่ยวข้องกับการนำแอมโมเนียมาเผาไหม้ร่วมกับถ่านหินที่ผ่านมา อันได้แก่ งานวิจัยของ Wang และคณะ [13] ซึ่งได้เปรียบเทียบการปล่อย CO<sub>2</sub> และ NO<sub>x</sub> จากการเผาไหม้แอมโมเนียร่วมกับถ่านหินที่สัดส่วนโดย

มวลระหว่างแอมโมเนียต่อถ่านหิน ( $\text{NH}_3/\text{coal mass ratio}$ ) ต่าง ๆ ในเตาเผาแบบท่อ (tube furnace) ซึ่งวางในแนวตั้ง ที่อุณหภูมิ 1,100 °C ทั้งแบบที่มีการป้อนของอากาศเป็นช่วง ๆ ตามความสูงของเตาเผา (air-staged condition) และแบบที่ป้อนอากาศร่วมกับเชื้อเพลิงผสมที่ด้านบนของเตาเผาโดยไม่มีการป้อนเป็นช่วง ๆ ตามความสูง (non-staged combustion) ผลการศึกษาพบว่า การเผาไหม้เชื้อเพลิงผสมระหว่างแอมโมเนียกับถ่านหินนำไปสู่การลดการปล่อย  $\text{CO}_2$  ลงได้อย่างมีนัยสำคัญ และพบว่า การเผาไหม้ในเตาเผาที่มีการป้อนอากาศเป็นช่วง ๆ (air-staged condition) นำไปสู่การปล่อย  $\text{NO}_x$  ที่น้อยกว่าการเผาไหม้ในเตาเผาที่ไม่มีการป้อนอากาศเป็นช่วง ๆ (non-staged combustion) เนื่องจากการป้อนอากาศเป็นช่วง ๆ ทำให้เกิดการเผาไหม้เชื้อเพลิงผสมในภาวะที่มีเชื้อเพลิงมากกว่าอากาศ (fuel-rich condition) ซึ่งนำไปสู่การลดการเกิดของ  $\text{NO}_x$  งานวิจัยของ Wang และคณะ [14] ซึ่งได้ศึกษาการปล่อย  $\text{NO}_x$  จากการเผาไหม้แอมโมเนียร่วมกับถ่านหินในเตาเผาแบบท่อซึ่งวางในแนวตั้ง ที่อุณหภูมิ 1,100-1,400 °C โดยมีการป้อนเชื้อเพลิงผสม 2 แบบ แบบที่ 1 เป็นแบบที่ป้อนแอมโมเนียในท่อที่แยกจากถ่านหินและอากาศ (lagging co-firing mode) และแบบที่ 2 เป็นแบบที่ป้อนแอมโมเนียร่วมกับถ่านหินและอากาศในท่อเดียวกัน (premixed co-firing mode) ผลการศึกษาพบว่า การเผาไหม้ในรูปแบบที่ป้อนแอมโมเนียแยกกับถ่านหินและอากาศ (lagging co-firing mode) มีการปล่อย  $\text{NO}_x$  น้อยกว่าการเผาไหม้ในรูปแบบที่ป้อนแอมโมเนียร่วมกับถ่านหินและอากาศในท่อเดียวกัน เนื่องจากการป้อนแบบแยกกันทำให้เกิดภาวะการเผาไหม้ที่มีเชื้อเพลิงมากกว่าอากาศ (fuel-rich condition) ซึ่งนำไปสู่การปล่อย  $\text{NO}_x$  ในปริมาณต่ำ ขณะที่การป้อนแอมโมเนียร่วมกับถ่านหินและอากาศทำให้เกิดภาวะการเผาไหม้ที่มีเชื้อเพลิงน้อยกว่าอากาศ (fuel-lean condition) ซึ่งเป็นภาวะที่ทำให้เกิดการปล่อย  $\text{NO}_x$  ในปริมาณสูง งานวิจัยของ Xie และคณะ [15] ซึ่งได้ศึกษาการปล่อย  $\text{NO}_x$  จากการเผาไหม้แอมโมเนียร่วมกับถ่านหิน โดยใช้สัดส่วนของแอมโมเนียต่อถ่านหินในช่วงร้อยละ 10-30 ในเตาเผาแบบท่อซึ่งวางในแนวตั้ง ด้วยการป้อนแอมโมเนียที่ตำแหน่งต่าง ๆ ได้แก่ ที่ด้านบนของเตาเผา ร่วมกับการป้อนถ่านหินและอากาศ และที่ด้านข้างของเตาเผา ขณะที่ถ่านหินและอากาศถูกป้อนจากด้านบน ผลการศึกษาพบว่า ระบบการเผาไหม้ที่ป้อนแอมโมเนียแยกจากถ่านหินและอากาศก่อให้เกิดภาวะการเผาไหม้ที่มีเชื้อเพลิงมากกว่าอากาศ (fuel-rich condition) ซึ่งทำให้มีการปล่อย  $\text{NO}_x$  ต่ำกว่าระบบการเผาไหม้ที่ป้อนแอมโมเนียร่วมกับอากาศจากด้านบนของเตาเผา นอกจากนี้ ยังพบว่า การเผาไหม้แอมโมเนียร่วมกับถ่านหินนำไปสู่การลดลงของการปล่อย  $\text{CO}_2$  อย่างมีนัยสำคัญ และงานวิจัยของ Li และคณะ [16] ที่ศึกษาผลของสัดส่วนระหว่างแอมโมเนียกับถ่านหิน รูปแบบของการป้อนอากาศ อุณหภูมิของการเผาไหม้ และปริมาณของอากาศเกินพอ (ในรูปของความเข้มข้นของออกซิเจนที่ขาออก) ที่มีต่อการปล่อย  $\text{CO}_2$  และ  $\text{NO}_x$  จากการเผาไหม้แอมโมเนียร่วมกับถ่านหินในเตาเผาแบบ fluidized bed ในช่วงอุณหภูมิ 850-900 °C ผลการศึกษาพบว่า การเพิ่มสัดส่วนของแอมโมเนียในเชื้อเพลิงผสมระหว่างแอมโมเนียกับถ่านหินนำไปสู่การลดลงของการปล่อย  $\text{CO}_2$  ขณะที่การปล่อย  $\text{NO}_x$  เพิ่มขึ้นเล็กน้อย แต่ความเข้มข้นของ  $\text{NO}_x$  ที่ปล่อยออกมาอยู่ในช่วง 150-200 ppm ซึ่งถือว่าอยู่ในระดับต่ำ การป้อนอากาศเป็นช่วง ๆ ตามความสูงของเตาเผาทำให้ลดการปล่อย  $\text{NO}_x$  ลงได้ การเพิ่มขึ้นของอุณหภูมิของการเผาไหม้ทำให้การปล่อย  $\text{NO}_x$  สูงขึ้น ส่วนการลดลงของปริมาณอากาศเกินพอ (นั่นคือมีความเข้มข้นของออกซิเจนที่ขาออกลดลง) ส่งผลให้มีการปล่อย  $\text{NO}_x$  ลดลง แสดงให้เห็นว่าการเผาไหม้แอมโมเนียร่วมกับถ่านหินนำไปสู่การปล่อย  $\text{CO}_2$  ในปริมาณที่ลดลง และสามารถลดปริมาณการปล่อยของ  $\text{NO}_x$  ได้เช่นกัน หากมีการควบคุมการเผาไหม้ให้อยู่ในภาวะที่เหมาะสม (นั่นคือภาวะการเผาไหม้ที่มีเชื้อเพลิงมากกว่าอากาศ หรือ fuel-rich condition)

อย่างไรก็ตาม หากจะนำแอมโมเนียมาเผาไหม้ร่วมกับถ่านหินในประเทศไทย ซึ่งเป็นถ่านหินที่มีปริมาณของกำมะถัน (S) สูง อาจทำให้ออกไซด์ของกำมะถัน ( $\text{SO}_x$ ) ที่เกิดขึ้นจากการเผาไหม้ ไปส่งผลต่อการปล่อย  $\text{NO}_x$  ได้ ซึ่งงานวิจัยที่ได้กล่าวถึงข้างต้นยังไม่ได้มีการศึกษาผลของการนำแอมโมเนียมาเผาไหม้ร่วมกับถ่านหินที่มีปริมาณกำมะถันสูงแต่อย่างใด ดังนั้น จึงเป็นที่มาของงานวิจัยนี้มีวัตถุประสงค์เพื่อศึกษาผลของการเผาไหม้แอมโมเนียร่วมกับถ่านหินที่มีปริมาณกำมะถันสูงที่มีต่อการปล่อยมลพิษต่าง ๆ ซึ่งรวมถึง  $\text{NO}_x$  และ  $\text{SO}_x$  พร้อมทั้งศึกษาผลของการปล่อย  $\text{SO}_x$  ที่มีต่อการปล่อย  $\text{NO}_x$

## 2. วิธีการศึกษา

งานวิจัยนี้เป็นการจำลองการเผาไหม้แอมโมเนียร่วมกับถ่านหินที่มีปริมาณกำมะถันสูงโดยใช้โปรแกรมจำลองกระบวนการ Aspen Plus V. 12.1 ซึ่งตัวแปรที่ทำการศึกษาในงานวิจัยนี้ ได้แก่ อุณหภูมิของการเผาไหม้ (ในช่วง 500 ถึง 2,000 °C) สัดส่วนมวลของแอมโมเนียในเชื้อเพลิงผสมระหว่างแอมโมเนียกับถ่านหิน (ในช่วงร้อยละ 0-100) ปริมาณอากาศ



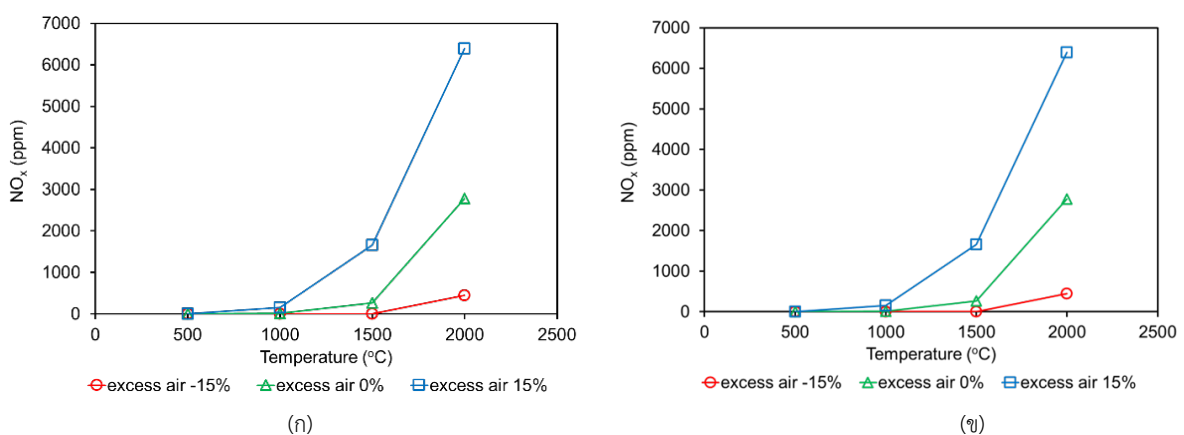
ตารางที่ 1 ค่าการวิเคราะห์ต่าง ๆ ของถ่านหินที่ใช้ในงานวิจัย (ต่อ)

การวิเคราะห์แบบประมาณ (proximate analysis) [wt.%]	ปริมาณกำมะถันในถ่านหิน [wt.%]					
	0.5	1	2	3	4	5
Sulphur (S)	0.5	1	2	3	4	5
การวิเคราะห์กำมะถัน (sulphur analysis)						
Pyritic sulphur	0.075	0.15	0.30	0.45	0.60	0.75
Sulphate sulphur	0.175	0.35	0.70	1.05	1.40	1.75
Organic sulphur	0.25	0.50	0.10	1.50	2.00	2.50

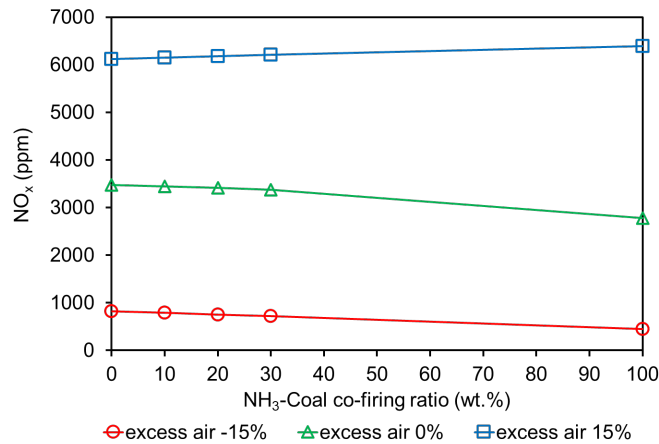
### 3. ผลการศึกษาและอภิปรายผล

จากการพิจารณาผลของอุณหภูมิของการเผาไหม้และอากาศเกินพอที่มีต่อการปล่อยออกไซด์ของไนโตรเจน (NO<sub>x</sub>) จากการเผาไหม้แอมโมเนียร่วมกับถ่านหินที่มีสัดส่วนมวลระหว่างแอมโมเนียกับถ่านหินร้อยละ 30 โดยมวล ในรูปที่ 2 พบว่า สำหรับอากาศเกินพอร้อยละ -15 และ 0 การเพิ่มขึ้นของอุณหภูมิของการเผาไหม้จาก 500 เป็น 1,500 °C ส่งผลให้ความเข้มข้นของ NO<sub>x</sub> ที่ปล่อยออกมาเพิ่มขึ้นเล็กน้อย แต่เมื่ออุณหภูมิของการเผาไหม้เพิ่มจาก 1,500 เป็น 2,000 °C ความเข้มข้นของ NO<sub>x</sub> ที่ปล่อยออกมามีค่าเพิ่มขึ้นอย่างมีนัยสำคัญ และพบว่า สำหรับอากาศเกินพอร้อยละ +15 การเพิ่มขึ้นของอุณหภูมิของการเผาไหม้ส่งผลให้ความเข้มข้นของ NO<sub>x</sub> ที่ปล่อยออกมาเพิ่มขึ้นอย่างมีนัยสำคัญเช่นเดียวกัน อย่างไรก็ตาม ปริมาณของกำมะถันในถ่านหินไม่มีผลต่อความเข้มข้นของ NO<sub>x</sub> ที่ปล่อยออกมาจากการเผาไหม้ ดังแสดงในรูปที่ 2 เช่นเดียวกัน ทั้งนี้ พบว่า การเพิ่มขึ้นของสัดส่วนมวลของแอมโมเนียในเชื้อเพลิงผสมระหว่างแอมโมเนียกับถ่านหินมีผลน้อยมากต่อความเข้มข้นของ NO<sub>x</sub> ที่ปล่อยออกมาจากการเผาไหม้ ดังแสดงในรูปที่ 3

การเพิ่มขึ้นของอุณหภูมิของการเผาไหม้และอากาศเกินพอที่ส่งผลให้การปล่อย NO<sub>x</sub> เพิ่มขึ้นอย่างรวดเร็วเป็นไปตามกลไก (mechanism) ของการเกิด NO<sub>x</sub> ที่อุณหภูมิสูง (thermal-NO<sub>x</sub>) ของ Zeldovich [18] ซึ่งเป็นกลไกของการเกิด NO<sub>x</sub> จาก N<sub>2</sub> ที่อยู่ในอากาศ โดยที่ N<sub>2</sub> เป็นโมเลกุลที่ยึดเหนี่ยวกันด้วยพันธะสาม (triple bond) [18] ดังนั้น จึงต้องใช้อุณหภูมิสูงในการสลายพันธะ และการเพิ่มขึ้นของอากาศเกินพอส่งผลให้อากาศที่เผาไหม้กับเชื้อเพลิงมี N<sub>2</sub> เพิ่มขึ้น จึงทำให้การปล่อย NO<sub>x</sub> เพิ่มขึ้นด้วย ทั้งนี้ การที่การเพิ่มขึ้นของสัดส่วนมวลของแอมโมเนียในเชื้อเพลิงผสมระหว่างแอมโมเนียกับถ่านหินมีผลทำให้การปล่อย NO<sub>x</sub> เปลี่ยนแปลงไปน้อยมาก แสดงให้เห็นว่าการปล่อย NO<sub>x</sub> จากการเผาไหม้เชื้อเพลิงผสมระหว่างแอมโมเนียกับถ่านหินมาจาก N<sub>2</sub> ในอากาศเป็นหลัก



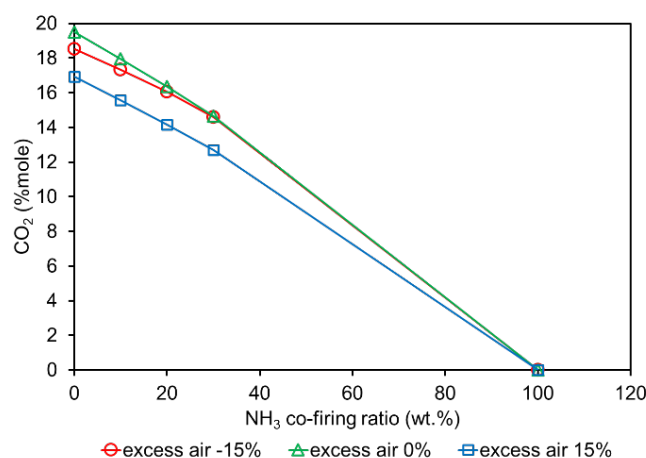
รูปที่ 2 ความเข้มข้นของ NO<sub>x</sub> จากการเผาไหม้แอมโมเนียร่วมกับถ่านหินที่มีสัดส่วนมวลของแอมโมเนียในเชื้อเพลิงผสมร้อยละ 30 ที่อุณหภูมิของการเผาไหม้และอากาศเกินพอต่าง ๆ สำหรับถ่านหินที่มี (ก) กำมะถัน (S) ร้อยละ 0.5 และ (ข) กำมะถัน (S) ร้อยละ 5



รูปที่ 3 ความเข้มข้นของ NO<sub>x</sub> ที่ได้จากการเผาไหม้แอมโมเนียร่วมกับถ่านหินที่มีสัดส่วนมวลของแอมโมเนียในเชื้อเพลิงผสมในช่วงร้อยละ 0-100 และปริมาณอากาศเกินพอต่าง ๆ ที่อุณหภูมิของการเผาไหม้ 2,000 °C สำหรับถ่านหินที่มีปริมาณกำมะถัน (S) ร้อยละ 5

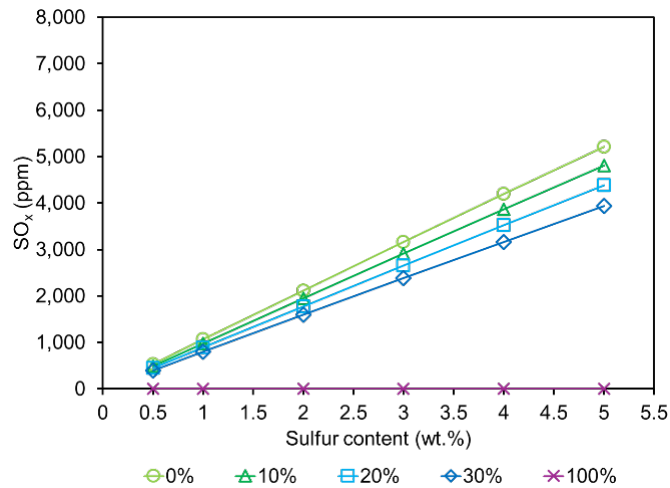
ผลของอากาศเกินพอที่มีต่อการปล่อย NO<sub>x</sub> จากการเผาไหม้แอมโมเนียร่วมกับถ่านหินที่ได้จากงานวิจัยนี้สอดคล้องกับผลที่ได้จากการวิจัยของ Wang และคณะ [13] งานวิจัยของ Wang และคณะ [14] งานวิจัยของ Xie และคณะ [15] และงานวิจัยของ Li และคณะ [16] ที่พบว่า การเผาไหม้ในภาวะที่มีเชื้อเพลิงมากกว่าอากาศ (fuel-rich condition) ส่งผลให้การปล่อย NO<sub>x</sub> ลดลง ส่วนผลของอุณหภูมิที่มีการปล่อย NO<sub>x</sub> ที่ได้จากงานวิจัยนี้สอดคล้องกับผลที่ได้จากการวิจัยของ Li และคณะ [16] ที่พบว่า การเพิ่มขึ้นของอุณหภูมิทำให้เกิดการปล่อยของ NO<sub>x</sub> มากขึ้น

จากการพิจารณาการปล่อย CO<sub>2</sub> จากการเผาไหม้เชื้อเพลิงผสมระหว่างแอมโมเนียกับถ่านหินที่มีสัดส่วนมวลของแอมโมเนียต่าง ๆ ในรูปที่ 4 พบว่า การเพิ่มขึ้นของสัดส่วนมวลของแอมโมเนียในเชื้อเพลิงผสมส่งผลให้การปล่อย CO<sub>2</sub> ลดลงจนไม่มีการปล่อย CO<sub>2</sub> เมื่อเผาไหม้แอมโมเนียร้อยละ 100 ทั้งนี้ เนื่องจากแอมโมเนียเป็นเชื้อเพลิงที่ปราศจากคาร์บอน ซึ่งผลการทดลองที่ได้จากงานวิจัยนี้สอดคล้องกับผลที่ได้จากงานวิจัยของ Wang และคณะ [13] Xie และคณะ [15] และ Li และคณะ [16] ที่พบว่า การเผาไหม้แอมโมเนียร่วมกับถ่านหินนำไปสู่การปล่อย CO<sub>2</sub> ที่ลดลง นอกจากนี้ ยังพบว่า การปล่อย CO<sub>2</sub> มีค่าน้อยที่สุดเมื่อใช้อากาศเกินพอร้อยละ +15 ซึ่งน่าจะมาจากการที่ก๊าซที่ได้จากการเผาไหม้ (flue gas) ถูกเจือจางจากปริมาณอากาศเกินพอที่มี N<sub>2</sub> ในสัดส่วนถึงร้อยละ 79



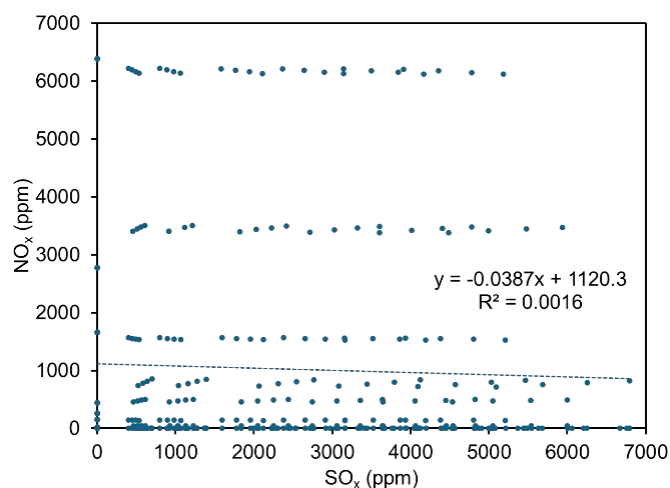
รูปที่ 4 ความเข้มข้นของ CO<sub>2</sub> ที่ได้จากการเผาไหม้แอมโมเนียร่วมกับถ่านหินที่มีสัดส่วนมวลของแอมโมเนียในเชื้อเพลิงผสมในช่วงร้อยละ 0-100 และปริมาณอากาศเกินพอต่าง ๆ ที่อุณหภูมิของการเผาไหม้ 500 °C สำหรับถ่านหินที่มีปริมาณกำมะถัน (S) ร้อยละ 0.5

เมื่อปริมาณของกำมะถัน (S) ในถ่านหินเพิ่มขึ้น ส่งผลให้การปล่อยออกไซด์ของกำมะถัน (SO<sub>x</sub>) จากการเผาไหม้เพิ่มขึ้น แต่การเพิ่มขึ้นของสัดส่วนมวลของแอมโมเนียในเชื้อเพลิงผสมระหว่างแอมโมเนียกับถ่านหินส่งผลให้การปล่อย SO<sub>x</sub> ลดลง ดังแสดงในรูปที่ 5 ทั้งนี้ เนื่องจากการเพิ่มสัดส่วนมวลของแอมโมเนียในเชื้อเพลิงผสม ทำให้เชื้อเพลิงผสมมีถ่านหินในสัดส่วนที่ลดลง จึงส่งผลให้กำมะถันในเชื้อเพลิงผสมลดลงตามไปด้วย การปล่อย SO<sub>x</sub> จึงลดลง



รูปที่ 5 ความเข้มข้นของ SO<sub>x</sub> ที่ได้จากการเผาไหม้แอมโมเนียร่วมกับถ่านหินที่มีสัดส่วนมวลของแอมโมเนียในเชื้อเพลิงผสมในช่วงร้อยละ 0-100 และปริมาณกำมะถันในถ่านหินต่าง ๆ ที่อุณหภูมิของการเผาไหม้ 2,000 °C และปริมาณอากาศเกินพอร้อยละ +15

จากการพิจารณาผลของการปล่อย SO<sub>x</sub> ที่มีการปล่อย NO<sub>x</sub> ดังแสดงในรูปที่ 6 พบว่า การเพิ่มขึ้นของความเข้มข้นของ SO<sub>x</sub> ส่งผลให้การปล่อย NO<sub>x</sub> ลดลงเล็กน้อย แสดงว่าการเพิ่มขึ้นของปริมาณกำมะถันในถ่านหิน (S) ส่งผลให้การปล่อย NO<sub>x</sub> ลดลงเล็กน้อย ซึ่งน่าจะมีเหตุผลมาจากการเกิด SO<sub>x</sub> และ NO<sub>x</sub> ต่างต้องใช้อนุมูล (radical) เดียวกัน นั่นคือ H, O, และ OH radicals ดังนั้น เมื่ออนุมูลเหล่านี้ถูกใช้ไปสำหรับการเกิด SO<sub>x</sub> (จาก S) ซึ่งมีพลังงานกระตุ้น (activation energy) ต่ำกว่าการเกิด NO<sub>x</sub> (จาก N<sub>2</sub> ในอากาศ) ไปแล้ว จึงเหลืออนุมูลที่ต้องใช้สำหรับการเกิด NO<sub>x</sub> ลดลง ส่งผลให้การปล่อย NO<sub>x</sub> ลดลง [19]



รูปที่ 6 ความสัมพันธ์ระหว่างความเข้มข้นของ SO<sub>x</sub> กับความเข้มข้นของ NO<sub>x</sub> จากการเผาไหม้แอมโมเนียร่วมกับถ่านหินที่มีปริมาณกำมะถันสูง

#### 4. สรุปผลการศึกษา

จากการศึกษาการเผาไหม้แอมโมเนียร่วมกับถ่านหินด้วยการจำลองกระบวนการโดยใช้โปรแกรม Aspen Plus พบว่าการเพิ่มสัดส่วนมวลของแอมโมเนียในเชื้อเพลิงผสมระหว่างแอมโมเนียกับถ่านหินส่งผลให้การปล่อย CO<sub>2</sub> ลดลง การเพิ่มขึ้นของอุณหภูมิของการเผาไหม้และอากาศเกินพอส่งผลให้มีการปล่อย NO<sub>x</sub> เพิ่มขึ้น แต่การเพิ่มสัดส่วนมวลของแอมโมเนียในเชื้อเพลิงผสมไม่ส่งผลต่อการปล่อย NO<sub>x</sub> การเพิ่มขึ้นของปริมาณกำมะถันในถ่านหินส่งผลให้การปล่อย SO<sub>x</sub> เพิ่มขึ้น แต่การเพิ่มสัดส่วนมวลของแอมโมเนียในเชื้อเพลิงผสมทำให้การปล่อย SO<sub>x</sub> ลดลง นอกจากนี้ ยังพบว่า การเพิ่มขึ้นของความเข้มข้นของ SO<sub>x</sub> ส่งผลให้การปล่อย NO<sub>x</sub> ลดลงเล็กน้อย

#### เอกสารอ้างอิง

- [1] Kobaysahi, H., Hayakawa, A., Somarathne, K.D.K.A., & Okafor, E. (2019). Science and technology of ammonia combustion. *Progress of the Combustion Institute* 37, 109-133.
- [2] Elbaz, A.M., Wang, S., Guiberti, T.F., & Roberts, W.L. (2022). Review on the recent advances on ammonia combustion from the fundamentals to the applications. *Fuel Communications* 10, 100053.
- [3] Alnasif, A., Marshruk, S., Shi, H., Alnajideen, M., Wang, P., Pugh, D., & Valera-Medina, A. (2023). Evolution of ammonia-reaction mechanisms and modeling parameters: A review. *Application in Energy and Combustion Science* 15, 100175.
- [4] vanLoon, G.W. & Duffy, S.J. (2017). *Environmental Chemistry: A Global Perspective*. 4<sup>th</sup> ed. UK: Oxford University Press.
- [5] European Commission (n.d.). The Kyoto Protocol: The world's first international treaty to reduce greenhouse gas emissions. Retrieved from [https://climate.ec.europa.eu/eu-action/international-action-climate-change/kyoto-protocol\\_en](https://climate.ec.europa.eu/eu-action/international-action-climate-change/kyoto-protocol_en).
- [6] UNFCCC secretariat (n.d.). Key aspects of the Paris Agreement. Retrieved from <https://unfccc.int/most-requested/key-aspects-of-the-paris-agreement>.
- [7] สำนักงานนโยบายและแผนพลังงาน (2566). แผนปฏิบัติการราชการระยะ 5 ปี (พ.ศ. 2566-2570). สำนักงานนโยบายและแผนพลังงาน. กรุงเทพฯ: สำนักงานนโยบายและแผนพลังงาน กระทรวงพลังงาน.
- [8] กุลิศ สมบัติศิริ (2023). Thailand's Energy Policy. กรุงเทพฯ: สำนักงานปลัดกระทรวงพลังงาน. กระทรวงพลังงาน. Retrieved from <https://www.thailand-energy-academy.org/assets/upload/coursedocument/file/Thailand's%20Energy%20Policy.pdf>.
- [9] โศรดา ขุนโหระ (2544). แอมโมเนียกับอุตสาหกรรม. *วารสารกรมวิทยาศาสตร์บริการ* 49(157), 11-13.
- [10] ยุทธศรี หล้ามณี (ม.ป.ป.): คุณสมบัติของแอมโมเนียและการรั่วซึม. บริษัท มายคอม (ประเทศไทย) จำกัด. สืบค้นจาก: [https://www.netenergy-tech.com/doc/knowledge/Properties\\_and\\_leakage\\_of\\_ammonia\\_gas.pdf](https://www.netenergy-tech.com/doc/knowledge/Properties_and_leakage_of_ammonia_gas.pdf).
- [11] Alnajideen, M., Shi, H., Northrop, W., Emberson, D., Kane, S., Czyzewski, P., Alnaeli, M., Mashruk, S., Rouwenhorst, K., Yu, C., Eckart, S., & Valera-Medina, A. (2024). Ammonia combustion and emissions in practical applications: a review. *Carbon Neutrality* 3, 13.
- [12] Butterworth, P. (2022). Green ammonia fuel faces three big challenges. London: CRU. Retrieved from: <https://www.crugroup.com/en/communities/thought-leadership/sustainability/green-ammonia-fuel-faces-threebig-challenges/>.
- [13] Wang, X., Fan, W., Chen, J., Feng, G., & Zhang, X. (2022). Experimental study and kinetic analysis of the impact of ammonia co-firing ratio on products formation characteristics in ammonia/coal co-firing process. *Fuel* 329, 125496.
- [14] Wang, X., Fan, W., Chen, J., & Zhang, H. (2024). Experimental study of effect of a novel ammonia/coal co-firing mode on NO<sub>x</sub> emission under high temperature conditions. *Renewable Energy* 235, 121379.
- [15] Xie, Y., Yan, J., Li, J., Zhang, C., Liu, X., Zhang, W., & Wang, H. (2024). Experimental study on the effects of ammonia cofiring ratio and injection mode on the NO<sub>x</sub> emission characteristics of ammonia-coal cofiring. *Fuel* 363, 130996.
- [16] Li, T., Li, L., Liu, C., Liu, H., Sun, G., Ding, N., Lu, D., & Duan, L. (2024). Investigating combustion efficiency and NO<sub>x</sub> emission reduction in fluidized bed ammonia co-firing. *Combustion and Flame* 270, 113735.
- [17] Pintana, P. & Tippayawong, N. (2013). Nonisothermal Thermogravimetric Analysis of Thai Lignite with High CaO Content. *The Scientific World Journal*. 216975.
- [18] Turns, S.R. (2012). *An Introduction to Combustion: Concepts and Applications*. 3<sup>rd</sup> ed. Singapore: McGraw-Hill.
- [19] Glassman, I., Yetter, R.A., & Glumac, N.G. (2015). *Combustion*. 5<sup>th</sup> ed.: Elsevier.